

ОБЪЕДИНЕННЫЙ
ИНСТИТУТ
ЯДЕРНЫХ
ИССЛЕДОВАНИЙ
ДУБНА



19/12-76

P13 - 9467

K-606

1414 12-76

Д.Коллар, Л.Колларова, П.Хорват

КОНТРОЛЬ СТАБИЛЬНОСТИ И ЛИНЕЙНОСТИ
СПЕКТРОМЕТРИЧЕСКИХ КАНАЛОВ
ЧЕРЕНКОВСКИХ СЧЕТЧИКОВ
С ПОМОЩЬЮ УПРАВЛЯЕМЫХ БЛОКОВ

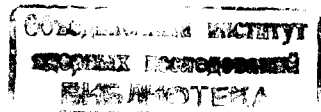
1976

P13 - 9467

Д.Коллар, Л.Колларова, П.Хорват

КОНТРОЛЬ СТАБИЛЬНОСТИ И ЛИНЕЙНОСТИ
СПЕКТРОМЕТРИЧЕСКИХ КАНАЛОВ
ЧЕРЕНКОВСКИХ СЧЕТЧИКОВ
С ПОМОЩЬЮ УПРАВЛЯЕМЫХ БЛОКОВ

Направлено в ПТЭ



Применение управляемых блоков быстрой электроники в физических экспериментах со сцинтилляционными и черенковскими счетчиками упрощает эффективный контроль аппаратуры при длительной эксплуатации. Так, в эксперименте по поиску монополя Дирака^{/1/} было необходимо сравнивать исследуемые наносекундные световые импульсы со стандартными, у которых амплитуда намного меньше прежней, а также проводить контроль линейности передачи спектрометрических каналов. С этой целью была разработана автономная система управления наносекундной логикой^{/8/}, которая состоит из управляемых задержек аттенюаторов, переключателей-мультиплексоров^{/2/} и блоков управления напряжения питания ФЭУ^{/3/}. Этими блоками управляет программный контроллер^{/4/} по программам от внутренних блоков программ или от ЭВМ.

Последовательность выполнения операции контроля величин задержек в каналах совпадений^{/4/}, усиления ФЭУ, работы индивидуальных модулей и их соединений и т.д. одинаковы для большого количества управляемых блоков наносекундной логики и ФЭУ. Разные модули, управляющие параметрами приборов, например, величиной задержки, ослабления и т.д., требуют одинакового набора команд^{/2,3/}. Поэтому при постоянной конфигурации измерения можно и аппаратурными средствами, с помощью модификации команды адреса модулей, производить проверку большого числа модулей одного типа с использованием одной программы. Малое отличие в структуре алгоритмов разных программ проверок позволяет с помощью небольшой модификации выполнения последовательности операции применить один алгоритм для нескольких проверок. Группировка модулей, вызывающих одинаковую программу обслуживания, в отдельных местах

крайтров или в отдельных крайтах упрощает поиск запросов обслуживания и выполнение соответствующих программ. В автономной системе^{/8/} каждый из блоков программ обеспечивает фиксированную программу, состоящую максимально из 16 инструкций КАМАК - СНАФ, с модификацией адреса /трехразрядный сканирующий счетчик/, определенную перепайкой соответствующих контактов коммутационного поля программного и сканирующего счетчика.

В эксперименте по поиску монополя Дирака для одновременной проверки работы быстрой электроники и спектрометрических каналов черенковского гадоскопа из 8 счетчиков оказалось эффективным использование световых вспышек от электролюминесцентных диодов /АЛ1О2, ХР21/. Свет от каждого из этих диодов, укрепленных на корпусах счетчиков /рис. 1/, фокусировался линзой и попадал на фотокатод. Таким образом, можно было сфокусировать свет на поверхности фотокатодов в пятна, размеры и интенсивность которых были для всех ФЭУ приблизительно одинаковы.

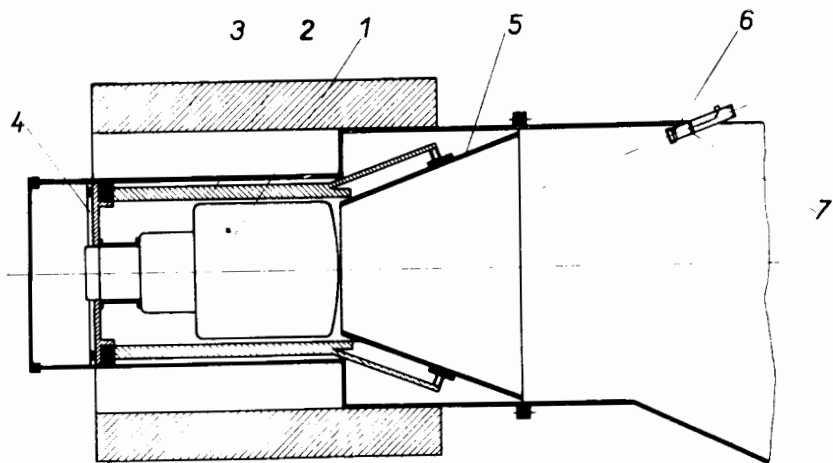


Рис. 1. Часть одного из счетчиков Черенкова в установке по поиску монополя Дирака /ПМД/. 1 - ФЭУ 58 АВР, 2 - магнитная защита ФЭУ, 3 - свинцовая защита, 4 - плата с делителем для ФЭУ, 5 - коническое зеркало, 6 - линза, фокусирующая свет от электролюминесцентного диода, 7 - светодиод.

В паузах между наводками ускоренных протонов на мишень-радиатор, а иногда и во время этих наводок снималось амплитудное распределение опорных ~100 фотоэлектронных импульсов. Средняя амплитуда A_1 , соответствующая пику этого распределения, служила для контроля стабильности спектрометрического канала и немного превышала порог дискриминаторов "быстрого" канала, с помощью которого производился отбор регистрируемых импульсов по времени и амплитуде.

Перед началом каждой длительной экспозиции проводилась линейность световой характеристики ФЭУ с помощью прокалиброванных засветок от светодиодов, причем интенсивность вспышки менялась с помощью управления напряжением^{/3/} генератора на ртутном реле. Проверялась также и линейность регистрирующей аппаратуры с помощью измерения амплитуды импульса с ФЭУ, при разных ослаблениях аттенюатора. На основании этих измерений устанавливалась для опорной засветки максимальная амплитуда импульса с ФЭУ A_{2M} , для которой отклонение зависимости $\log I_a = f(\log U_{\text{ФЭУ}})$ от прямой представляет 10%.

Контроль линейности спектрометрического канала проводился в паузах между циклами работы ускорителя с помощью измерения отношения амплитуды импульсов A_2/A_1 . Амплитуда импульса A_2 близка по величине максимальному линейному значению данных ФЭУ - $A_2 \sim 0.9A_{2M}$. Для исключения погрешности измерительной электроники^{/7/} во время этой проверки, повышалось напряжение на ФЭУ и устанавливалось ослабление аттенюатора так, чтобы при неизменной интенсивности засветки амплитуды импульсов A_1, A_2 , измеренные на входе анализатора, были одинаковыми /рис. 2/.

Алгоритм программы для контроля стабильности (A_1) и линейности (A_2/A_1) спектрометрических каналов черенковских счетчиков в эксперименте по поиску монополя Дирака приведены на рис. 3 и в таблице. С помощью этого алгоритма и соответствующего содержимого БК сравнивались и амплитудные распределения исследуемых импульсов (A_1') и опорной засветки, на много меньшей амплитуды (A_2'). С малыми изменениями последовательности выполнения некоторых инструкций и зациклирования

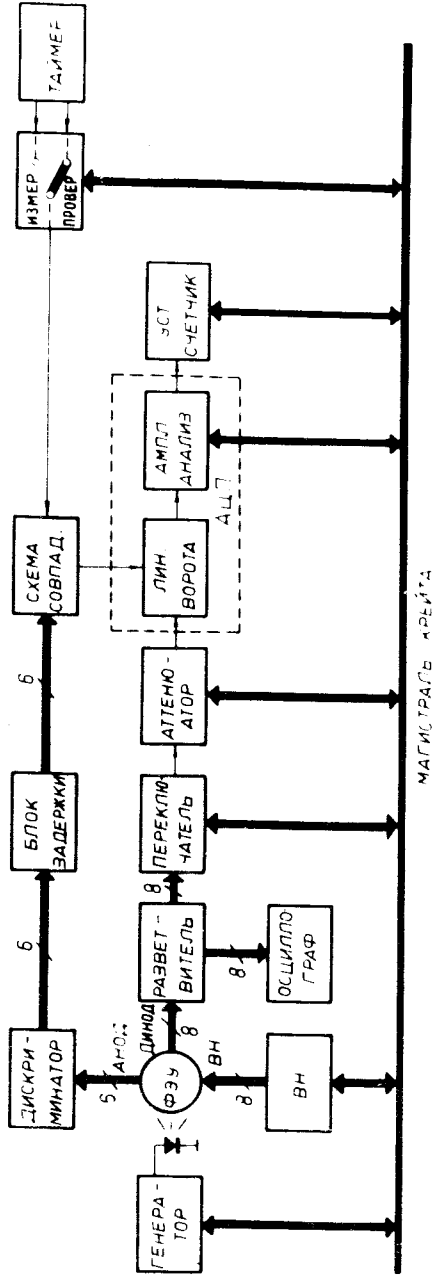


Рис. 2. Блок-схема контроля стабильности и линейности спектрометрических каналов черенковских счетчиков в установке ПМД.

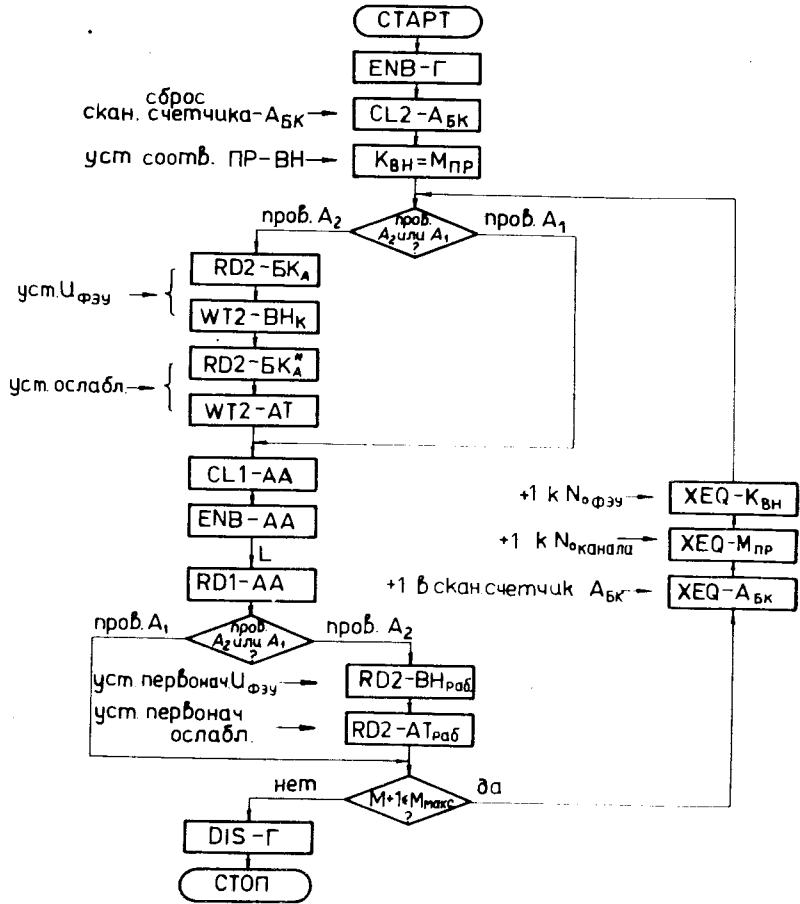


Рис. 3. Алгоритм программ для проверки стабильности и линейности спектрометрических каналов черенковских счетчиков в установке ПМД. Г - генератор световых импульсов, BH - источник высокого напряжения для питания ФЭУ, BH_K - напряжение питания K-го ФЭУ, BH_{раб} - напряжение на ФЭУ, установленное согласно состоянию клавишного набирателя на передней панели блока, PR - переключатель в положении M_{PR}, подключающий K_{BH}-й ФЭУ к анализатору, AT - аттенюатор, УС - установочный счетчик, AA - амплитудный анализатор, BKA - блок констант/постоянная память - ROM /, АБК - содержимое сканирующего счетчика BKA - субадрес BKA, который определяет данные BKA, T - таймер, управляющий временем O,I - IO с с шагом O,I с.

можно этот алгоритм использовать и при автоматической проверке линейности передачи регистрирующей аппаратуры и др.

Генератор световых импульсов запускался с помощью таймера синхронно с работой ускорителя. Таким образом, можно было непрерывно и одновременно с набором статистически осуществлять запись амплитуды реперных сигналов, например, в первых и последних каналах анализатора, а проверку линейности проводить только время от времени. В качестве аналого-цифрового преобразователя был использован анализатор NTA-512M, управляемый с помощью линейных ворот. Установочный счетчик на выходе анализатора считал количество проанализированных импульсов и определял необходимость записи измеренного спектра импульсов. После проверки каждого канала устанавливались автоматически, согласно состоянию клавишных набирателей на передних панелях, такие состояния регистров управляемых блоков, какие были установлены до проверки.

Таблица

Мнемоническое описание использованных функций КАМАК согласно /6/

RD1 - F(0)	- чтение
RD2 - F(1)	- чтение данных для управления
CL1 - F(9)	- сброс
CL2 - F(11)	- сброс данных для управления
WT2 - F(17)	- запись
DIS - F(24)	- блокировка
XEQ - F(25)	- запись +1 в выбранные регистры
ENB - F(26)	- подготовка
TST - F(27)	- проверка состояния.

Благодаря проводимым проверкам в процессе эксперимента по поиску монополя Дирака можно было учесть влияние усталости ФЭУ вследствие больших загрузок^{/5/}. Относительная ошибка измерения отношения

амплитуд световых импульсов в основном определена ошибкой измерения амплитуды импульсов с помощью анализатора $\sim 3\%$.

Авторы благодарны В.П.Зрелову и М.Ф.Шабашову за полезные обсуждения.

Литература

1. В.П.Зрелов, Л.Колларова, Д.Коллар, В.П.Лупильцев, П.Павлович, Я.Ружичка, В.П.Сидорова, М.Ф.Шабашов, Р.Яник. Препринт ОИЯИ, Р1-7996, Дубна, 1974.
2. Д.Коллар, Л.Колларова, П.Луппак, В.Штрайт, П.Хорват. Сообщение ОИЯИ, Р13-9000, Дубна, 1975.
3. Д.Коллар, Л.Колларова, П.Хорват. Сообщение ОИЯИ, Р13-9028, Дубна, 1975.
4. Д.Коллар, Л.Колларова, П.Хорват. Сообщение ОИЯИ, Р13-9001, Дубна, 1975.
5. Д.Коллар, Л.Колларова, М.Ф.Шабашов. Сообщение ОИЯИ, Р13-9003, Дубна, 1975.
6. I.C.Pyle. CAMAC Bulletin, No. 11, 21, 1974.
7. Ю.В.Бушнин, Р.Н.Краснокутский, Ю.В.Михайлов, В.Н.Морозов, Р.С.Шувалов. ПТЭ, №2, 190, 1975.
8. Д.Коллар, Л.Колларова, П.Хорват. Автономная система управления наносекундной логикой. Труды VII Международного симпозиума по ядерной электронике. Дубна, 1975. ОИЯИ, Д13-8950, 1976.

Рукопись поступила в издательский отдел
19 января 1976 года.